

(1) 1-2 沿岸防災手法の工学的評価 (佐藤@東大工) 日26-2-1-2

- ✓ 小潮位差
- ✓ 冬季風浪
- ✓ 砂浜・砂丘
- ✓ 海岸侵食
- ✓ 少ない大津波

日本海沿岸の
特徴

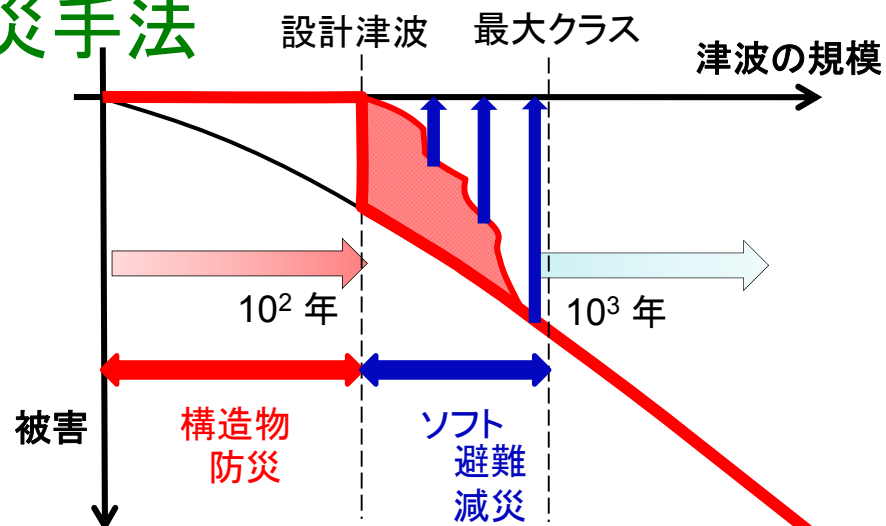
数値モデル

奥尻津波, 波の分裂



016 sec

合理的な
防災手法



国総研海岸研究室まとめ



	2013	2014	2015	2016	2017	2018	2019	2020
日本海側沿岸の海象特性と沿岸防災手法	→							
海岸堤防の津波減災性能と限界	→							
沿岸低地における津波の氾濫予測					北海道 東北	北陸 西日本		
日本海沿岸に適した津波防災手法							→	

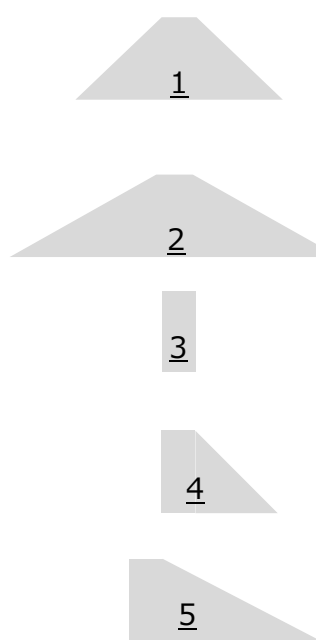
日本海側の海岸堤防の設置形態と高さを整理し、これを既往最大津波高さと比較することで、沿岸防災における津波防災の位置づけを明確にする。

➡ 奥尻島の一部を除いて、高波 >> 津波
津波規模・浸水想定は設定されたばかり

堤防高さを越える津波が来襲した場合の後背地の被害予測
リスクに基づいた合理的な堤防高の設定方法に関する研究

➡ 堤防越流特性に関する実験的検討

Shape1を基準とした水理量



形状	表	裏	非定常流量	定常流量	天端流速	流体力の指標
Shape1	1:1	1:1	1	1	1	1
Shape2	1:2	1:2	1.08	0.99	1	1
Shape3	直立	直立	0.83	0.95	0.81	0.5
Shape4	直立	1:1	0.92	1.03	0.9	1
Shape5	直立	1:2	0.92	0.97	0.87	1

堤防形状によって越流量は異なる。

- ・堤防越流に関する詳細実験の実施
- ・数値モデルによる越流・氾濫評価の高精度化に向けた検討

従来の氾濫計算

平面二次元モデル

- 静水圧近似
- 堤防部での計算領域の分割



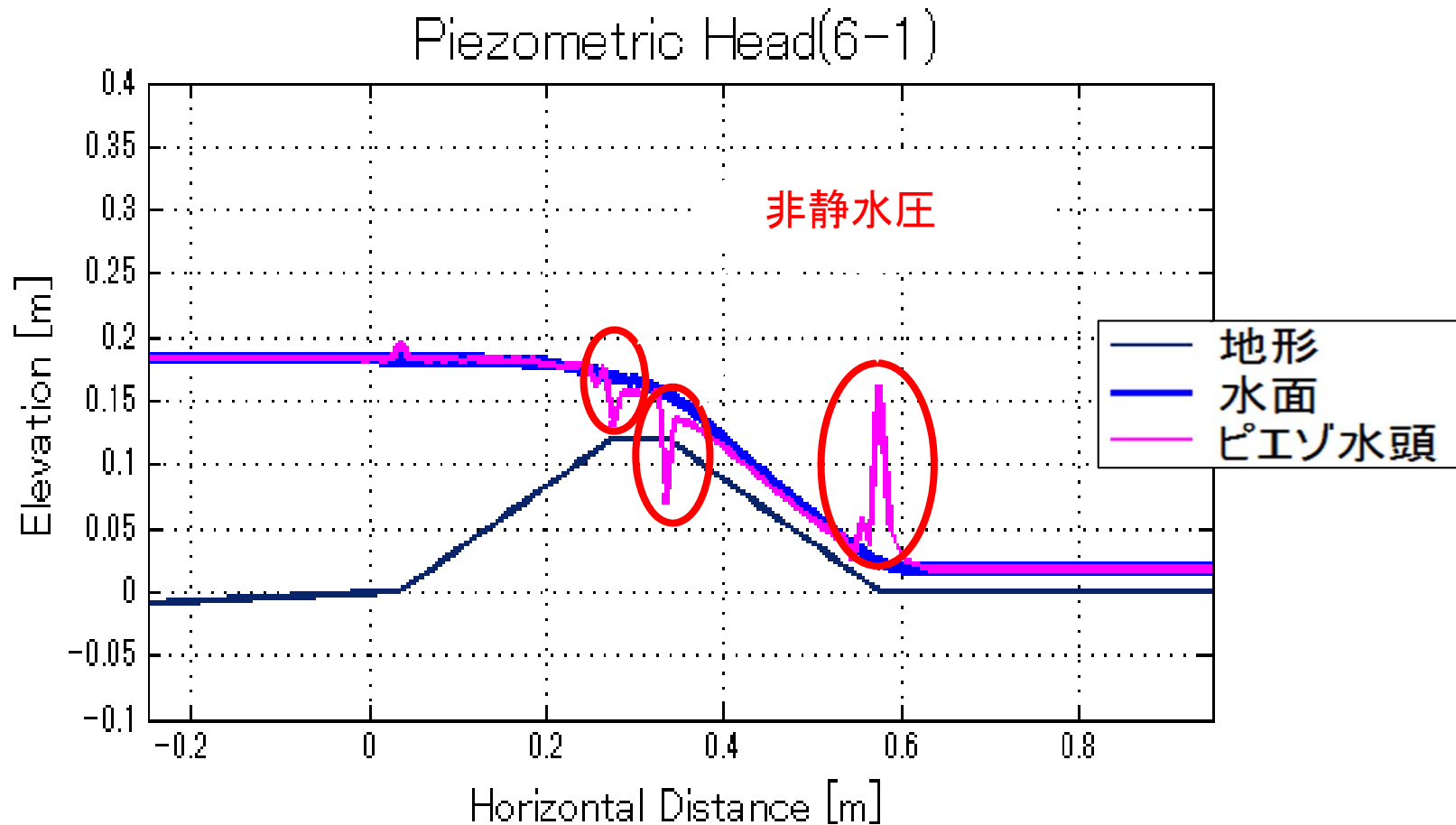
堤防形状を考慮できていない

三次元モデル

- 非静水圧
- 計算負荷が大きい
- 保存性が良くない



堤防越流時の流体運動を鉛直積分モデルにより再現する



➤ 堤防法肩で「**負圧**」、堤防裏法尻で「**正圧**」 → 「**遠心力**」

従来のモデル

非線形長波理論

運動方程式

$$\frac{\partial Q}{\partial t} + \frac{\partial}{\partial x} \left(\frac{Q^2}{D} \right) + gD \frac{\partial \eta}{\partial x} = 0$$

圧力

$$p = \rho g D$$

(静水圧近似)

- 鉛直方向加速度を無視
- 計算は容易で比較的安定

非静水圧理論

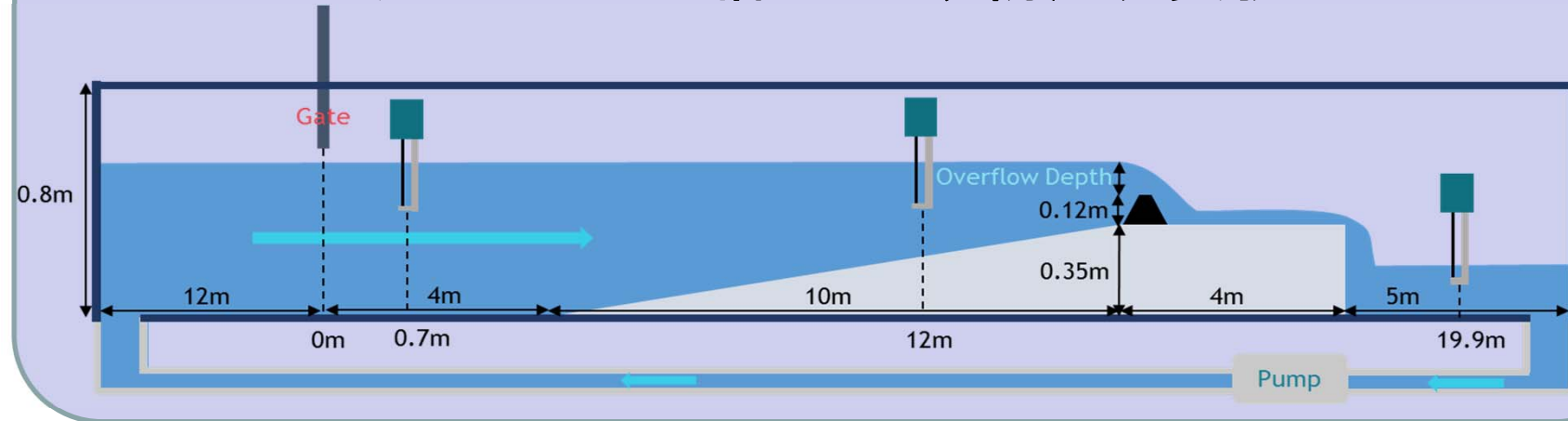
$$\begin{aligned} \frac{\partial Q}{\partial t} + \frac{\partial}{\partial x} \left(\frac{Q^2}{D} \right) + gD \frac{\partial \eta}{\partial x} \\ = \frac{\partial}{\partial x} \left(\frac{D^3}{3} G_1 + \frac{D^2}{2} G_2 \right) + \frac{\partial B}{\partial x} \left(\frac{D^2}{2} G_1 + DG_2 \right) \end{aligned}$$

$$p = \rho g D - \rho \left\{ \frac{1}{2} D^2 G_1 - DG_2 \right\}$$

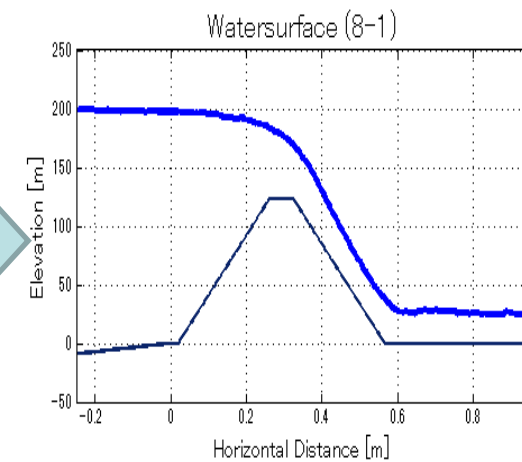
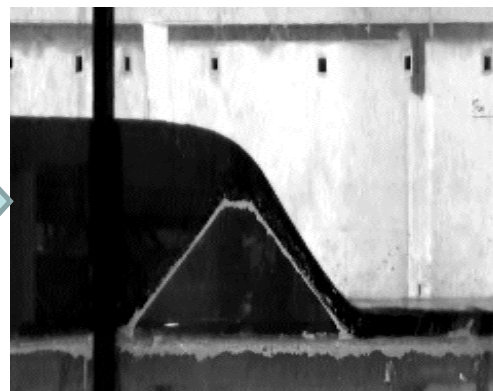
(非静水圧)

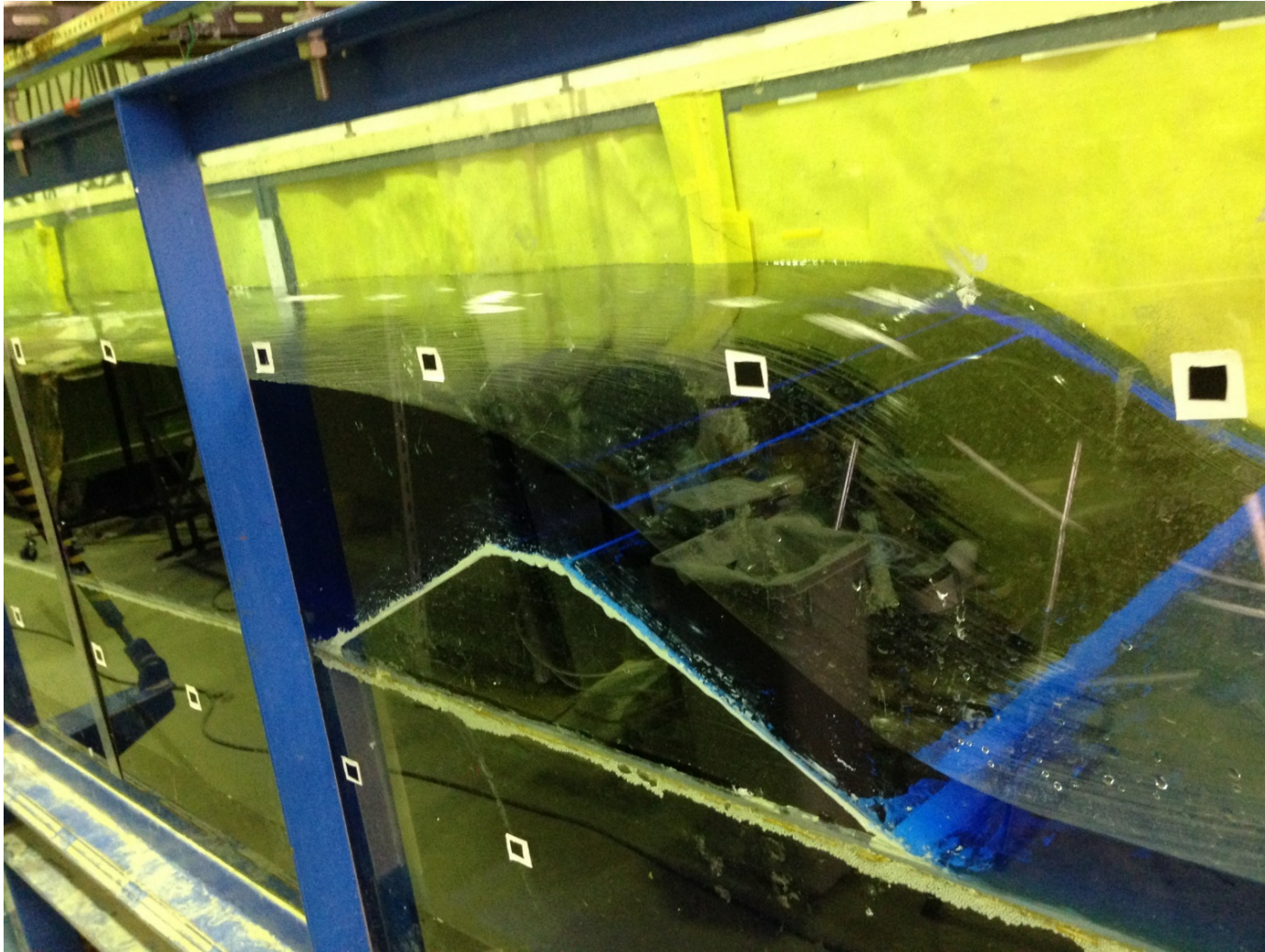
- 鉛直方向加速度を考慮
- 計算はやや不安定

断面二次元水槽による堤防越流実験



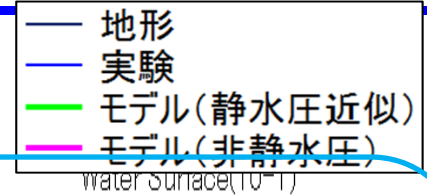
水位データの抽出



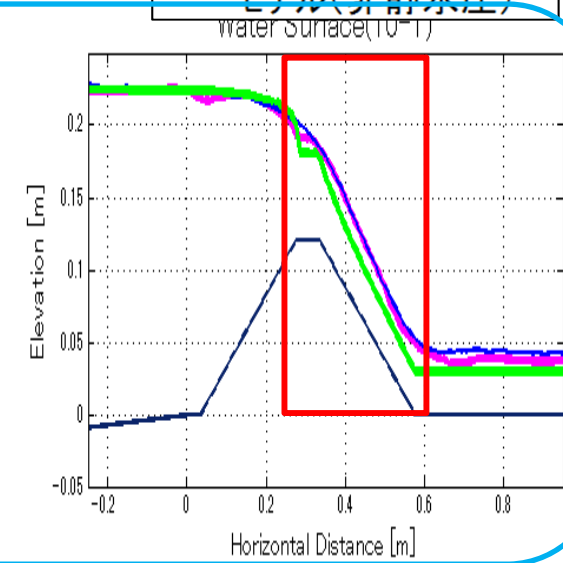
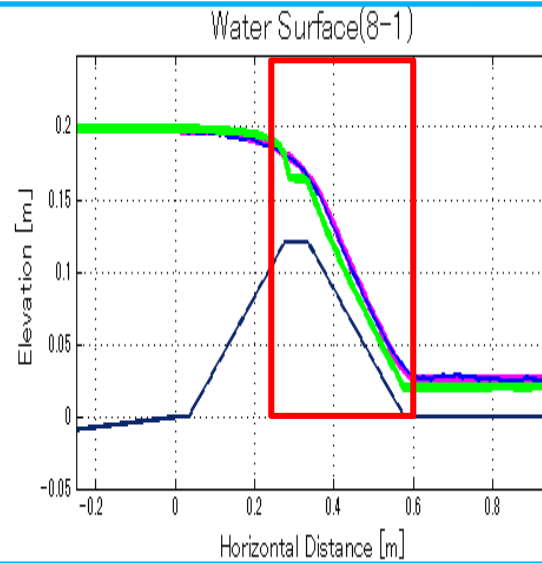
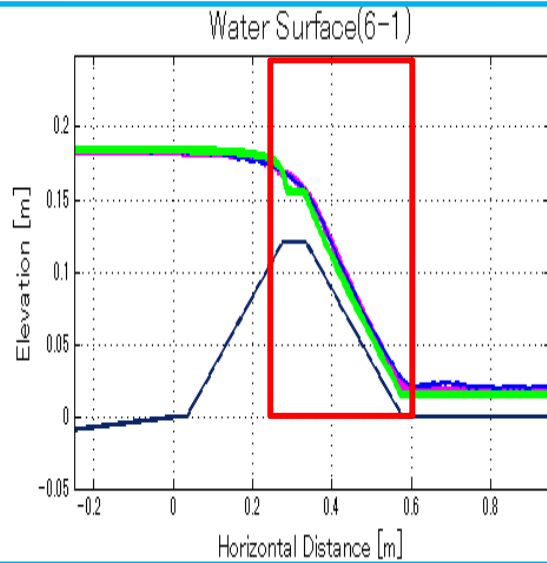


モデルと実験結果の比較検討

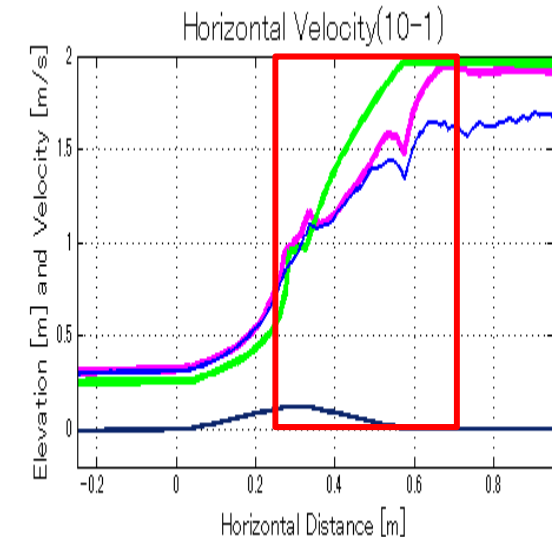
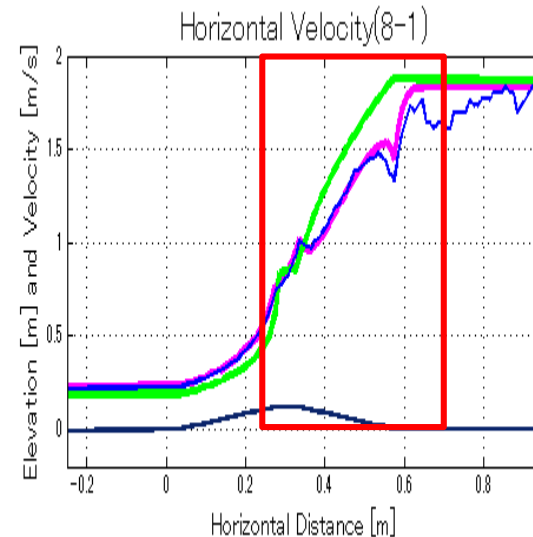
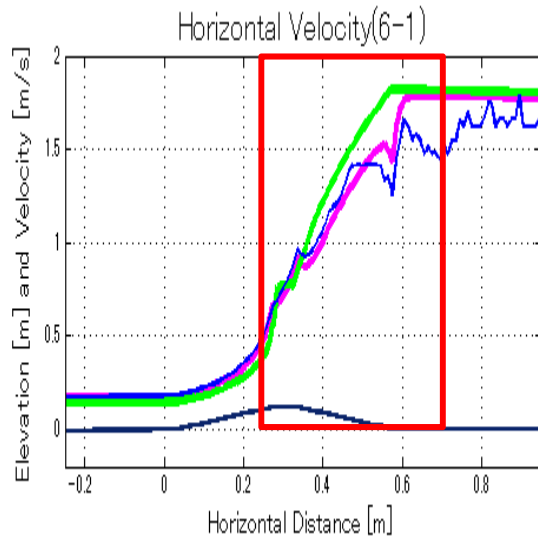
日26-2-1-2



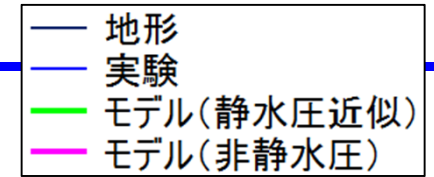
水面形の比較



流速の比較

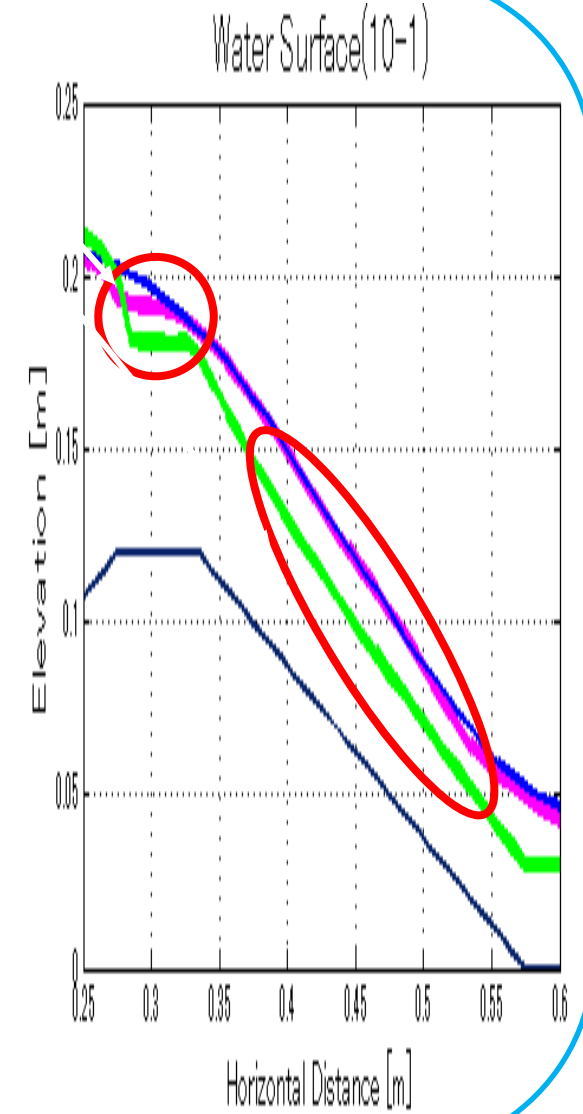
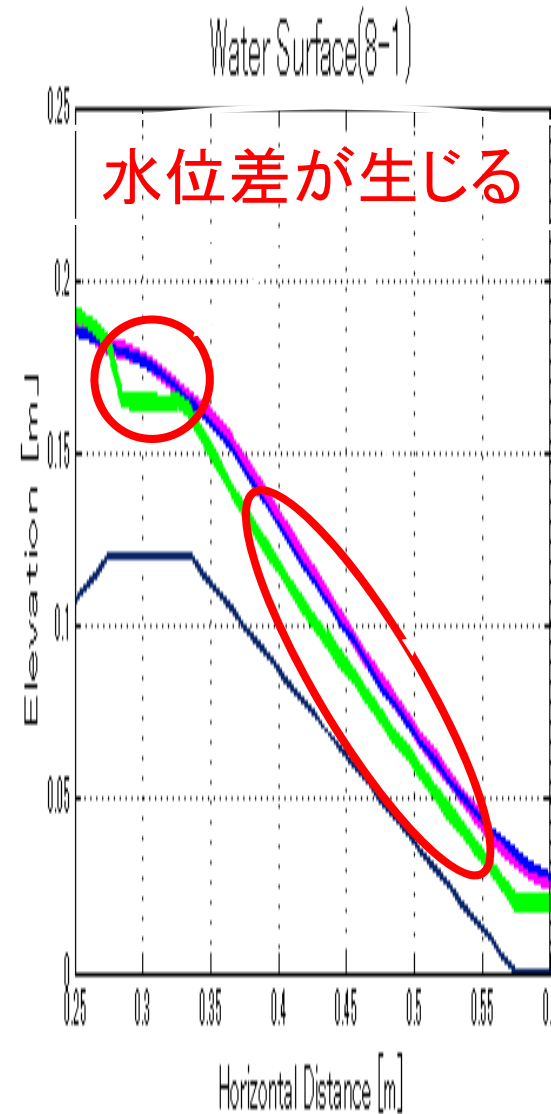
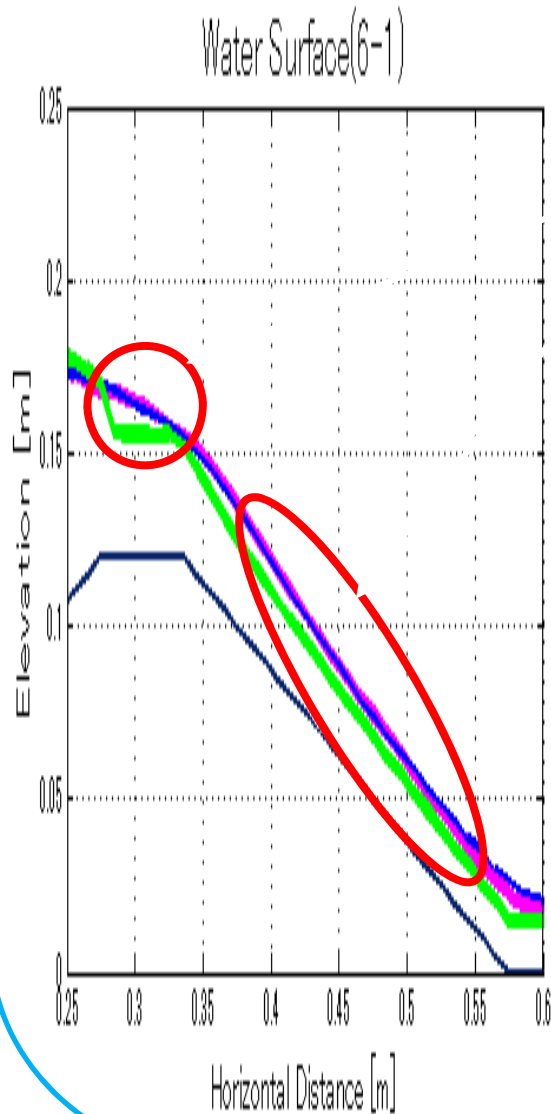


モデルと実験結果の比較検討



水面形の比較

流速の比較



◆ 既往の越流公式との流量比較

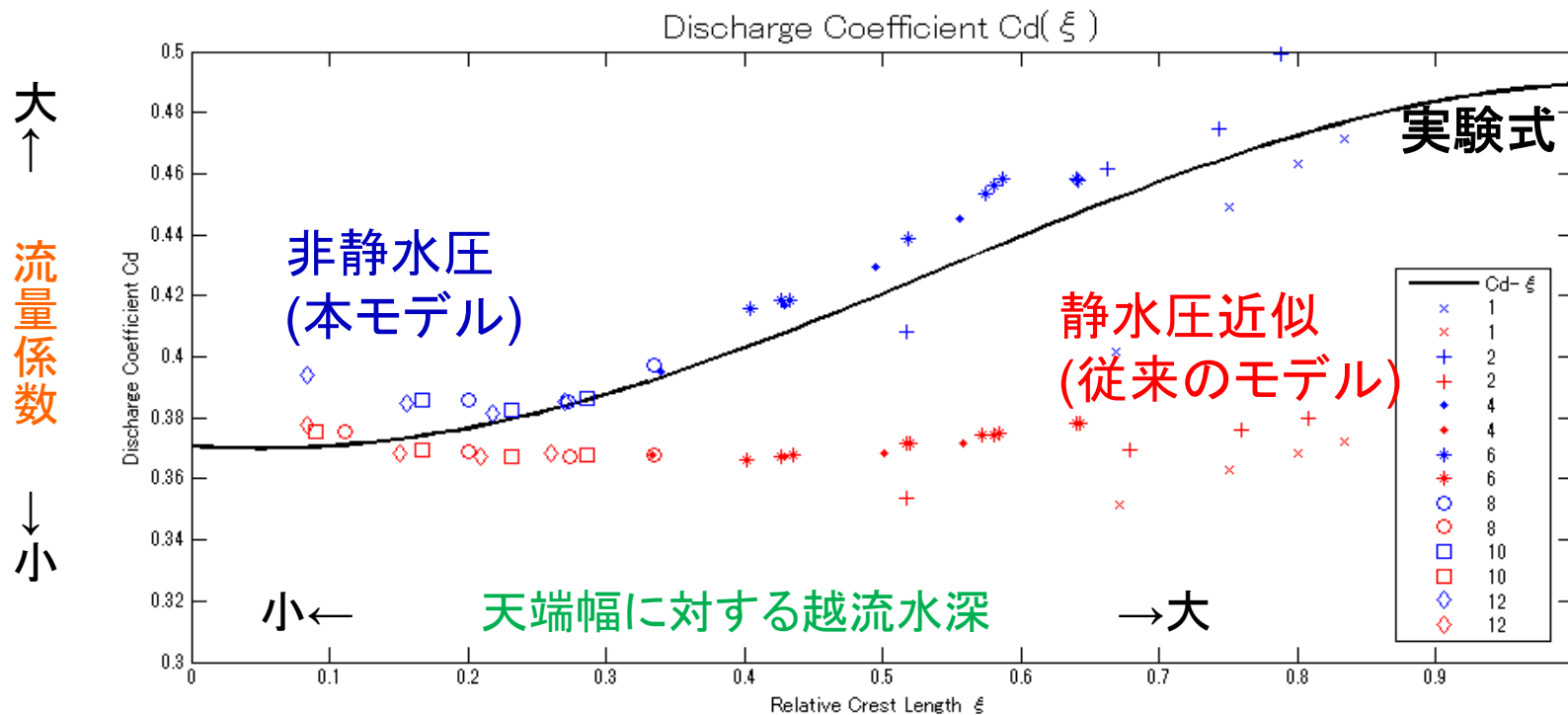
Fritzら(1998)の実験式

$$Q = C_d b (2gH_0^3)^{\frac{1}{2}}$$

流量係数: $C_d = 0.43 + 0.06 \sin[\pi(\xi - 0.55)]$

相対天端幅: $\xi = H_0 / (H_0 + L_w)$

全水頭: $H_0 = h_0 + \alpha Q^2 / [2gb^2(h_0 + w)^2]$



モデルと実験結果の比較検討

日26-2-1-2

◆ 流量の比較

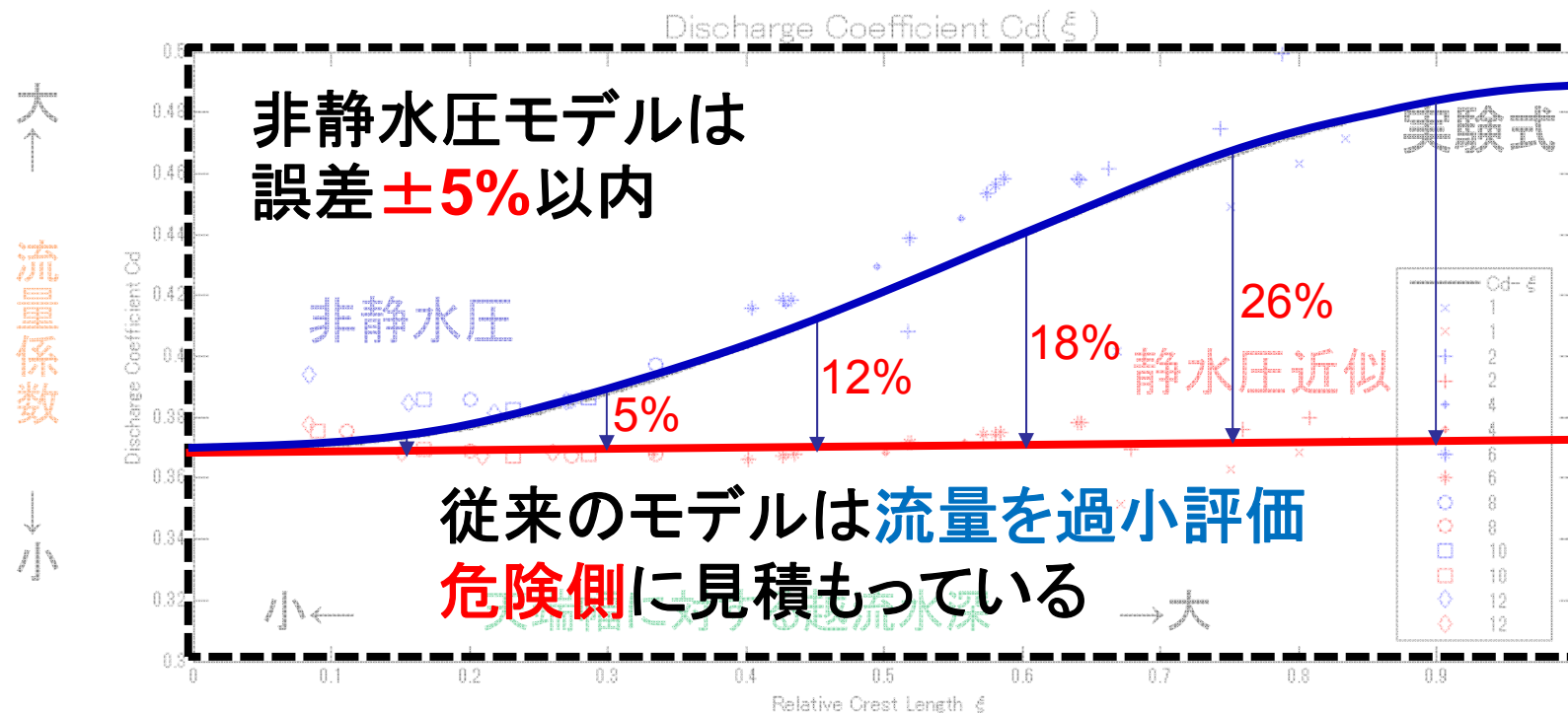
Fritzら(1998)の実験式

$$Q = C_d b (2gH_0^3)^{\frac{1}{2}}$$

流量係数: $C_d = 0.43 + 0.06 \sin[\pi(\xi - 0.55)]$

相対天端幅: $\xi = H_0 / (H_0 + L_w)$

全水頭: $H_0 = h_0 + \alpha Q^2 / [2gb^2(h_0 + w)^2]$



H26年度研究のまとめ

- 津波が堤防を越流するような状況
 - 堤防裏法面での高流速 鉛直方向加速度
 - 非静水圧を考慮したモデルが必要

- 非静水圧を考慮したモデル
 - 非静水圧モデルでは流量の誤差 $\pm 5\%$ 以内
(従来のモデルでは流量を大きいところで 20% 以上危険側に過小評価)

非静水圧モデルの安定性向上

➡ 数値スキームの検討
基礎方程式の改良

二次元モデルへの拡張

➡ 海岸地域スケールでの越流・氾濫計算
高解像度地形データ(1mメッシュ)により
複雑な堤防形状・線形を考慮した直接計算

沿岸低地における津波の氾濫予測の高精度・高解像度化